

Переоценка энергии широких атмосферных ливней на Якутской установке методом калориметрирования

А.В. Глушков, М.И. Правдин, А. Сабуров*

Институт космофизических исследований и аэрономии им. Ю.Г. Шафера СО РАН

33-я Всероссийская конференция по космическим лучам



1 Мотивация

2 Пространственное распределение сигнала детекторов

3 Калориметрический метод

4 Обсуждение полученных результатов

5 Заключение

Мотивация

$\rho_{s,600} \rightarrow E_0$:

Якутск (1978), Глушков (1982):

$$E_0 = (4.1 \pm 1.4) \times 10^{17} \cdot (\rho_{s,600}(0^\circ))^{0.97 \pm 0.04} \text{ (эВ)}, \quad (1)$$

$$\rho_{s,600}(0^\circ) = \rho_{s,600}(\theta) \times \exp\left(\frac{(\sec \theta - 1) \cdot x_0}{\lambda_\rho}\right), \quad (2)$$

$$\lambda_\rho = 400 \pm 45 \quad (\text{Г/см}^2), \quad (3)$$

$\rho_{s,600} \rightarrow E_0$:

Якутск (1978), Глушков (1982):

$$E_0 = (4.1 \pm 1.4) \times 10^{17} \cdot (\rho_{s,600}(0^\circ))^{0.97 \pm 0.04} \text{ (ЭВ)}, \quad (1)$$

$$\rho_{s,600}(0^\circ) = \rho_{s,600}(\theta) \times \exp\left(\frac{(\sec \theta - 1) \cdot x_0}{\lambda_\rho}\right), \quad (2)$$

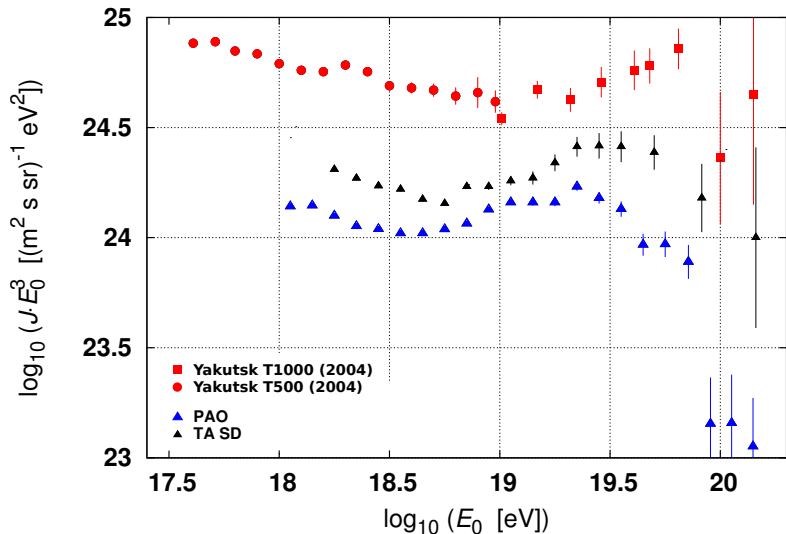
$$\lambda_\rho = 400 \pm 45 \quad (\text{Г/см}^2), \quad (3)$$

Якутск (1991, 1993, 2003)

$$E_0 = (4.8 \pm 1.6) \times 10^{17} \cdot (\rho_{s,600}(0^\circ))^{1.0 \pm 0.02}, \quad (4)$$

$$\lambda_\rho = (450 \pm 44) + (32 \pm 15) \cdot \log_{10} \rho_{s,600}(0^\circ). \quad (5)$$

Спектр КЛ с $E \geq 10^{17}$ эВ



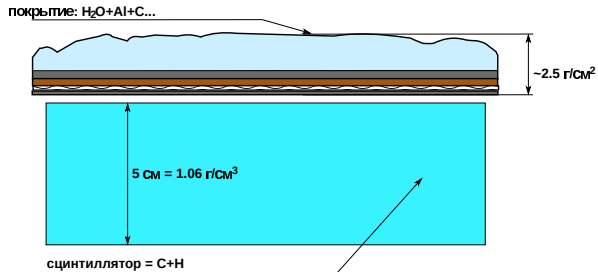
Пространственное распределение сигнала детекторов

Оценка отклика в наземных детекторах

энерговыделение в детекторе $\Delta E_s(R)$:

$$\rho_s(R) = \frac{\Delta E_s(R)}{E_1} \quad (\text{м}^{-2}), \quad (6)$$

$E_1 = 11.75$ МэВ (единица отклика).

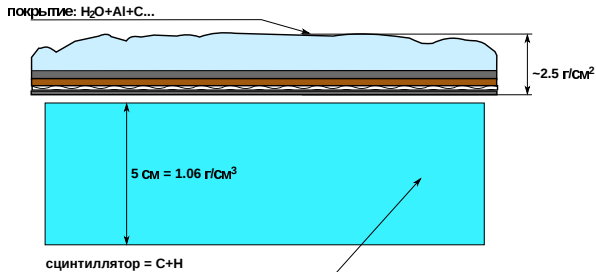


Оценка отклика в наземных детекторах

энерговыделение в детекторе $\Delta E_s(R)$:

$$\rho_s(R) = \frac{\Delta E_s(R)}{E_1} \quad (\text{м}^{-2}), \quad (6)$$

$E_1 = 11.75$ МэВ (единица отклика).



CORSIKA (v. 6.7370): QGSJet01d, QGSJet-II-04, SIBYLL-2.1, EPOS-LHC + FLUKA

$E_0 \in [10^{17} - 10^{19.5}]$ с шагом $\Delta \log_{10} E_0 = 0.5$ (по 500 ливней для каждого набора входных параметров).

thin sampling: $\epsilon_{\text{thin}} = 3.16 \cdot 10^{-6} - 10^{-5}$, $w_{\max} = 10^4 - 3.16 \cdot 10^6$.

$u_m(\epsilon, \theta)$: отклик одной частицы типа m ($m = e^{+/-}$, $\mu^{+/-}$, γ)

основные физические процессы:

$u_m(\epsilon, \theta)$: отклик одной частицы типа m ($m = e^{+/-}$, $\mu^{+/-}$, γ)

основные физические процессы:

- $e^{+/-}$:
 - ионизация
 - bremsstrahlung

$u_m(\epsilon, \theta)$: отклик одной частицы типа m ($m = e^{+/-}$, $\mu^{+/-}$, γ)

основные физические процессы:

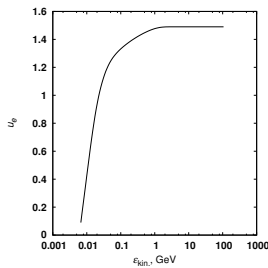
- $e^{+/-}$:
 - ионизация
 - bremsstrahlung
- $\mu^{+/-}$:
 - ионизация

$u_m(\epsilon, \theta)$: отклик одной частицы типа m ($m = e^{+/-}$, $\mu^{+/-}$, γ)

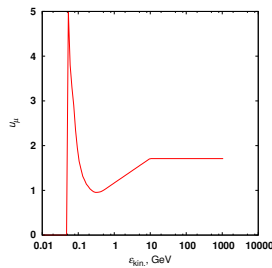
основные физические процессы:

- $e^{+/-}$:
 - ионизация
 - bremsstrahlung
- $\mu^{+/-}$:
 - ионизация
- γ :
 - $\gamma \rightarrow e^+ + e^-$
 - $\delta e^{+/-}$

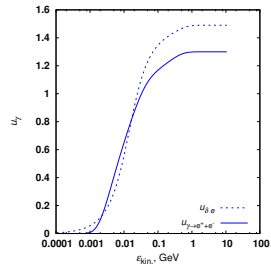
Оценка отклика в наземных детекторах



$$\rho_e(R) = \sum_i u_e(\epsilon_i, \theta_i) d(\epsilon_i, R, \theta_i)$$

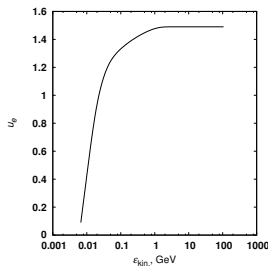


$$\rho_\mu(R) = \sum_i u_\mu(\epsilon_i, \theta_i) d(\epsilon_i, R, \theta_i)$$

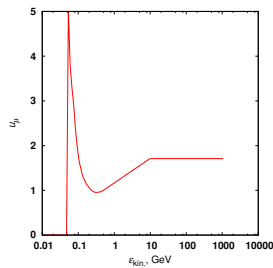


$$\rho_\gamma(R) = \sum_i (u_{\delta e} + u_{\gamma \rightarrow e^+ + e^-}) d(\epsilon_i, R, \theta_i)$$

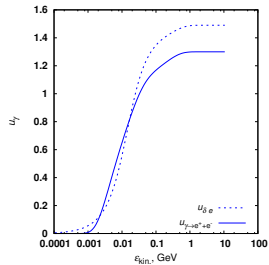
Оценка отклика в наземных детекторах



$$\rho_e(R) = \sum_i u_e(\epsilon_i, \theta_i) d(\epsilon_i, R, \theta_i)$$



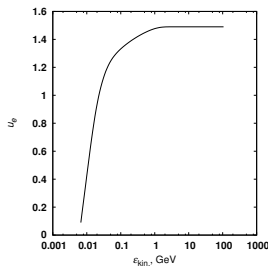
$$\rho_\mu(R) = \sum_i u_\mu(\epsilon_i, \theta_i) d(\epsilon_i, R, \theta_i)$$



$$\rho_\gamma(R) = \sum_i (u_{\delta e} + u_{\gamma \rightarrow e^+ + e^-}) d(\epsilon_i, R, \theta_i)$$

$u_m(\epsilon, \theta) \rightarrow \text{CORSIKA} \rightarrow d_m(\epsilon, R, \theta)$ для интервалов $(\log_{10} R_j, \log_{10} R_j + 0.04)$. Сигнал (6) на расстоянии R :

Оценка отклика в наземных детекторах



$$\rho_e(R) = \sum_i u_e(\epsilon_i, \theta_i) d(\epsilon_i, R, \theta_i)$$

$$\rho_\mu(R) = \sum_i u_\mu(\epsilon_i, \theta_i) d(\epsilon_i, R, \theta_i)$$

$$\rho_\gamma(R) = \sum_i (u_{\delta e} + u_{\gamma \rightarrow e^+ + e^-}) d(\epsilon_i, R, \theta_i)$$

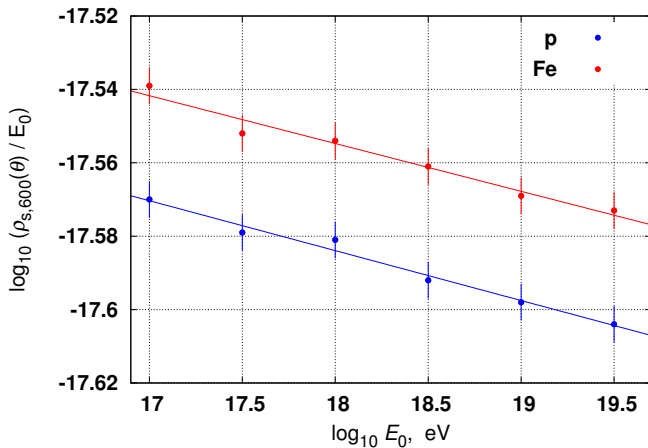
$u_m(\epsilon, \theta) \rightarrow \text{CORSIKA} \rightarrow d_m(\epsilon, R, \theta)$ для интервалов $(\log_{10} R_j, \log_{10} R_j + 0.04)$. Сигнал (6) на расстоянии R :

$$\rho_s(R) = \sum_m^3 \sum_{i=1}^{l_m} u_m(\epsilon_i, \theta_i) d_m(\epsilon_i, R, \theta_i), \quad (7)$$

l_m — число частиц типа m на расстоянии R .

QGSJet01d (вертикальные ливни):

$$E_0 = (3.24 \pm 0.1) \times 10^{17} \cdot (\rho_{s,600}(0^\circ))^{1.015}, \quad (8)$$



QGSJet-II-04, SIBYLL-2.1, EPOS-LHC:

$$E_0 = (3.52 \pm 0.1) \times 10^{17} \cdot (\rho_{s,600}(0^\circ))^{1.02}, \quad (9)$$

$$E_0 = (3.09 \pm 0.1) \times 10^{17} \cdot (\rho_{s,600}(0^\circ))^{1.015}, \quad (10)$$

$$E_0 = (3.74 \pm 0.1) \times 10^{17} \cdot (\rho_{s,600}(0^\circ))^{1.02}, \quad (11)$$

QGSJet-II-04, SIBYLL-2.1, EPOS-LHC:

$$E_0 = (3.52 \pm 0.1) \times 10^{17} \cdot (\rho_{s,600}(0^\circ))^{1.02}, \quad (9)$$

$$E_0 = (3.09 \pm 0.1) \times 10^{17} \cdot (\rho_{s,600}(0^\circ))^{1.015}, \quad (10)$$

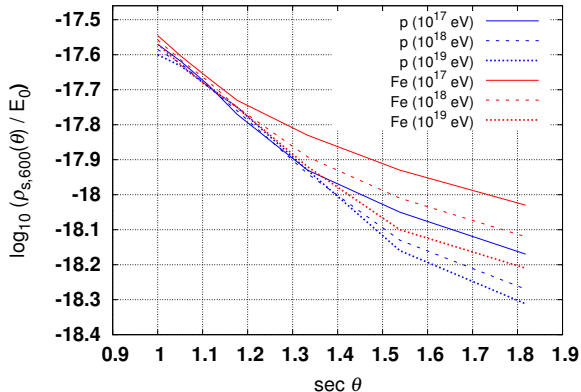
$$E_0 = (3.74 \pm 0.1) \times 10^{17} \cdot (\rho_{s,600}(0^\circ))^{1.02}, \quad (11)$$

Усредненная по всем моделям оценка:

$$E_0 = (3.40 \pm 0.18) \times 10^{17} \cdot (\rho_{s,600}(0^\circ))^{1.017}, \quad (12)$$

что ниже оценки (1) в 1.20 раза и ниже (4) в 1.41 раз.

Зенитно-угловая зависимость (QGSJet01d)



Линейная зависимость:

$$\lambda_\rho = 415 \pm 15 \text{ г/см}^2$$

$$\sec \theta < \sec \theta_{\lim} = a + b \log \rho_{s,600}(\theta),$$

Калориметрический метод

Энергия, рассеянная э/м компонентой в атмосфере:

$$E_i = E_\gamma + E_{\text{ион.}}$$

$$E_i = k \cdot F,$$

F — полный поток черенковского света, k — масштабный коэффициент.

Энергия, рассеянная э/м компонентой в атмосфере:

$$E_i = E_\gamma + E_{\text{ion.}}$$

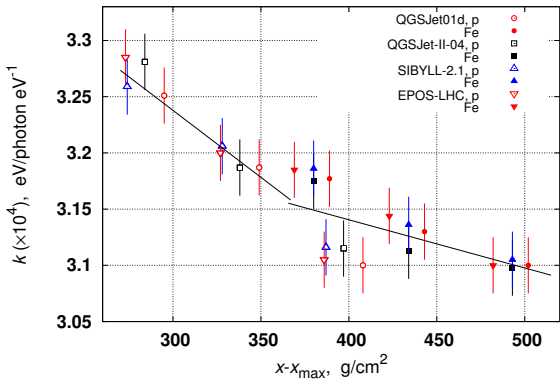
$$E_i = k \cdot F,$$

F — полный поток черенковского света, k — масштабный коэффициент.

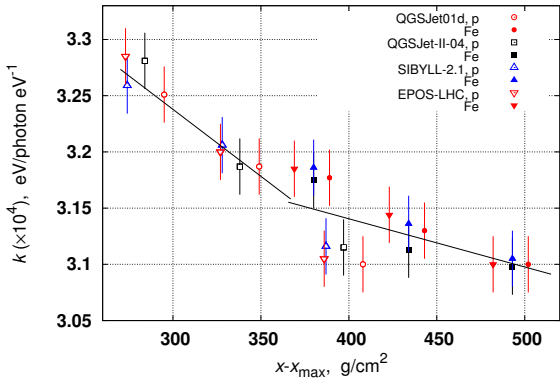
Масштабный коэффициент k :

$$k = k_\gamma + k_{\text{ion.}} = \frac{E_\gamma + E_{\text{ion.}}}{F}$$

Зависимость масштабного коэффициента k от расстояния между x_{\max} и x_{obs} . Для протонов и ядер железа:



Зависимость масштабного коэффициента k от расстояния между x_{\max} и x_{obs} . Для протонов и ядер железа:



$$F = \frac{1.265 F_{\text{obs.}}}{\Delta\epsilon},$$

$$\Delta\epsilon = 12400 \cdot \left(\frac{1}{\lambda_1} - \frac{1}{\lambda_2} \right) \simeq 2.58$$

$$\lambda_1 = 3000 \text{ \AA},$$

$$\lambda_2 = 8000 \text{ \AA}.$$

Энергия, проносимая $e^{+/-}$ к уровню наблюдения:

$$\begin{aligned} E_{\text{el.}} &= \int_{x_{\text{obs.}}}^{\infty} \left(\frac{dE}{dx} \right)_{\text{ion.}} \cdot N_e(x) dx \simeq \\ &\simeq 2.2 \times 10^6 \cdot N_e(x_{\text{obs.}}) \times \\ &\quad \int_{x_{\text{obs.}}}^{\infty} \exp \left(\frac{x_{\text{obs.}} - x}{\langle \lambda_N \rangle} \right) dx \\ &\langle \lambda_N \rangle \simeq 240 \text{ г/см}^2. \end{aligned}$$

Энергия, проносимая $e^{+/-}$ к уровню наблюдения:

$$\begin{aligned} E_{\text{el.}} &= \int_{x_{\text{obs.}}}^{\infty} \left(\frac{dE}{dx} \right)_{\text{ion.}} \cdot N_e(x) dx \simeq \\ &\simeq 2.2 \times 10^6 \cdot N_e(x_{\text{obs.}}) \times \\ &\quad \int_{x_{\text{obs.}}}^{\infty} \exp \left(\frac{x_{\text{obs.}} - x}{\langle \lambda_N \rangle} \right) dx \\ &\langle \lambda_N \rangle \simeq 240 \text{ г/см}^2. \end{aligned}$$

Число электронов на уровне наблюдения:

$$N_e(x_{\text{obs.}}) \simeq \langle N_s(x_{\text{obs.}}) \rangle - 1.8 \cdot \langle N_\mu(x_{\text{obs.}}) \rangle.$$

Энергия, проносимая $e^{+/-}$ к уровню наблюдения:

$$\begin{aligned} E_{\text{el.}} &= \int_{x_{\text{obs.}}}^{\infty} \left(\frac{dE}{dx} \right)_{\text{ion.}} \cdot N_e(x) dx \simeq \\ &\simeq 2.2 \times 10^6 \cdot N_e(x_{\text{obs.}}) \times \\ &\quad \int_{x_{\text{obs.}}}^{\infty} \exp \left(\frac{x_{\text{obs.}} - x}{\langle \lambda_N \rangle} \right) dx \\ &\langle \lambda_N \rangle \simeq 240 \text{ г/см}^2. \end{aligned}$$

Число электронов на уровне наблюдения:

$$N_e(x_{\text{obs.}}) \simeq \langle N_s(x_{\text{obs.}}) \rangle - 1.8 \cdot \langle N_\mu(x_{\text{obs.}}) \rangle.$$

Экспериментально измеренная энергия $\mu^{+/-}$:

$$E_\mu = \langle E_{1\mu} \rangle \cdot \langle N_\mu(x_{\text{obs.}}) \rangle,$$

$$\langle E_{1\mu} \rangle = 10.6 \text{ GeV.}$$

Таблица 1: наблюдаемые параметры ШАЛ с $E_0 = 10^{18}$ эВ и $\cos \theta = 0.95$ от первичных ядер A согласно моделям и эксперименту (оценка Якутск-1982):

модель	A	$k_\gamma(\theta)$ ($\times 10^4$) эВ 2	$k_{\text{ион.}}(\theta)$ ($\times 10^4$) эВ 2	$F(\theta)$ ($\times 10^{13}$) эВ $^{-1}$	$\langle N_s(\theta) \rangle$ ($\times 10^8$)	$\rho_{s,600}(\theta)$ м $^{-2}$	$\langle N_\mu(\theta) \rangle$ ($\times 10^6$)
QGSJet01d	p	0.341	2.846	2.104	2.178	2.312	5.000
	Fe	0.224	2.910	2.148	1.250	2.432	7.225
QGSJet-II-04	p	0.364	2.816	2.070	2.296	2.438	5.582
	Fe	0.246	2.894	2.148	1.358	2.636	7.777
SIBYLL-2.1	p	0.345	2.822	2.100	2.512	2.193	4.254
	Fe	0.224	2.910	2.228	1.384	2.249	4.930
EPOS-LHC	p	0.377	2.815	2.023	2.355	2.655	5.905
	Fe	0.230	2.894	2.133	1.419	2.917	8.180
среднее	p	0.357	2.825	2.074	2.335	2.400	5.185
	Fe	0.231	2.902	2.164	1.353	2.558	7.028
	p-Fe	0.294	2.864	2.119	1.844	2.479	6.107
эксперимент	-	3.700		2.510	1.793	2.656	6.000

Таблица 2: энергетический баланс ШАЛ ($E_0 = 10^{18}$ эВ и $\cos \theta = 0.95$) от первичных ядер (A) согласно расчетам и эксперименту (Якутск-1982):

модель	A	E_γ ($\times 10^{17}$) эВ	E_{ion} ($\times 10^{17}$) эВ	E_e ($\times 10^{17}$) эВ	E_μ ($\times 10^{17}$) эВ	ΔE ($\times 10^{17}$) эВ	E_0 ($\times 10^{17}$) эВ
QGSJet01d	p	0.806	6.620	1.469	0.517	0.565	9.978
	Fe	0.529	6.660	1.306	0.785	0.798	9.972
QGSJetII-04	p	0.859	6.476	1.474	0.547	0.624	9.980
	Fe	0.582	6.430	1.302	0.844	0.866	9.981
SIBYLL-2.1	p	0.909	6.625	1.523	0.428	0.491	9.976
	Fe	0.528	6.679	1.340	0.702	0.716	9.965
EPOS-LHC	p	0.891	6.412	1.482	0.524	0.657	9.966
	Fe	0.543	6.415	1.305	0.794	0.898	9.955
среднее	p	0.866	6.533	1.487	0.504	0.584	9.974
	Fe	0.546	6.531	1.313	0.781	0.820	9.968
	p-Fe	0.706	6.532	1.400	0.643	0.702	9.970
эксперимент	–	9.287		0.947	0.636	0.860	11.730
новая оценка	–	7.926		0.947	0.618	0.702	10.190

Таблица 2: энергетический баланс ШАЛ ($E_0 = 10^{18}$ эВ и $\cos \theta = 0.95$) от первичных ядер (A) согласно расчетам и эксперименту (Якутск-1982):

модель	A	E_γ ($\times 10^{17}$) эВ	E_{ion} ($\times 10^{17}$) эВ	E_{el} ($\times 10^{17}$) эВ	E_μ ($\times 10^{17}$) эВ	ΔE ($\times 10^{17}$) эВ	E_0 ($\times 10^{17}$) эВ
QGSJet01d	p	0.806	6.620	1.469	0.517	0.565	9.978
	Fe	0.529	6.660	1.306	0.785	0.798	9.972
QGSJetII-04	p	0.859	6.476	1.474	0.547	0.624	9.980
	Fe	0.582	6.430	1.302	0.844	0.866	9.981
SIBYLL-2.1	p	0.909	6.625	1.523	0.428	0.491	9.976
	Fe	0.528	6.679	1.340	0.702	0.716	9.965
EPOS-LHC	p	0.891	6.412	1.482	0.524	0.657	9.966
	Fe	0.543	6.415	1.305	0.794	0.898	9.955
среднее	p	0.866	6.533	1.487	0.504	0.584	9.974
	Fe	0.546	6.531	1.313	0.781	0.820	9.968
	p-Fe	0.706	6.532	1.400	0.643	0.702	9.970
эксперимент	-	9.287		0.947	0.636	0.860	11.730
новая оценка	-	7.926		0.947	0.618	0.702	10.190

Из данных таблицы видно, что $E_i + E_{el.} + E_\mu \simeq 93\% (E_0)$
 ΔE — не контролируется экспериментом.

Обсуждение

Обсуждение

модель	A	E_γ ($\times 10^{17}$) эВ	E_{ion} ($\times 10^{17}$) эВ	E_{el} ($\times 10^{17}$) эВ	E_μ ($\times 10^{17}$) эВ	ΔE ($\times 10^{17}$) эВ	E_0 ($\times 10^{17}$) эВ
QGSJet01d	p	0.806	6.620	1.469	0.517	0.565	9.978
	Fe	0.529	6.660	1.306	0.785	0.798	9.972
QGSJetII-04	p	0.859	6.476	1.474	0.547	0.624	9.980
	Fe	0.582	6.430	1.302	0.844	0.866	9.981
SIBYLL-2.1	p	0.909	6.625	1.523	0.428	0.491	9.976
	Fe	0.528	6.679	1.340	0.702	0.716	9.965
EPOS-LHC	p	0.891	6.412	1.482	0.524	0.657	9.966
	Fe	0.543	6.415	1.305	0.794	0.898	9.955
среднее	p	0.866	6.533	1.487	0.504	0.584	9.974
	Fe	0.546	6.531	1.313	0.781	0.820	9.968
	p-Fe	0.706	6.532	1.400	0.643	0.702	9.970
эксперимент	-	9.287		0.947	0.636	0.860	11.730
новая оценка	-	7.926		0.947	0.618	0.702	10.190

Таблица 2, строка „эксперимент“: $\sum E = 1.173 \times 10^{18}$ эВ,
 $\langle E_0 \rangle = 0.997 \times 10^{18}$ эВ

Обсуждение

модель	A	E_γ ($\times 10^{17}$) эВ	E_{ion} ($\times 10^{17}$) эВ	E_{el} ($\times 10^{17}$) эВ	E_μ ($\times 10^{17}$) эВ	ΔE ($\times 10^{17}$) эВ	E_0 ($\times 10^{17}$) эВ
QGSJet01d	p	0.806	6.620	1.469	0.517	0.565	9.978
	Fe	0.529	6.660	1.306	0.785	0.798	9.972
QGSJetII-04	p	0.859	6.476	1.474	0.547	0.624	9.980
	Fe	0.582	6.430	1.302	0.844	0.866	9.981
SIBYLL-2.1	p	0.909	6.625	1.523	0.428	0.491	9.976
	Fe	0.528	6.679	1.340	0.702	0.716	9.965
EPOS-LHC	p	0.891	6.412	1.482	0.524	0.657	9.966
	Fe	0.543	6.415	1.305	0.794	0.898	9.955
среднее	p	0.866	6.533	1.487	0.504	0.584	9.974
	Fe	0.546	6.531	1.313	0.781	0.820	9.968
	p-Fe	0.706	6.532	1.400	0.643	0.702	9.970
эксперимент	-	9.287		0.947	0.636	0.860	11.730
новая оценка	-	7.926		0.947	0.618	0.702	10.190

Таблица 2, строка „эксперимент“: $\sum E = 1.173 \times 10^{18}$ эВ,
 $\langle E_0 \rangle = 0.997 \times 10^{18}$ эВ
разница в ~ 1.18 раза

Обсуждение

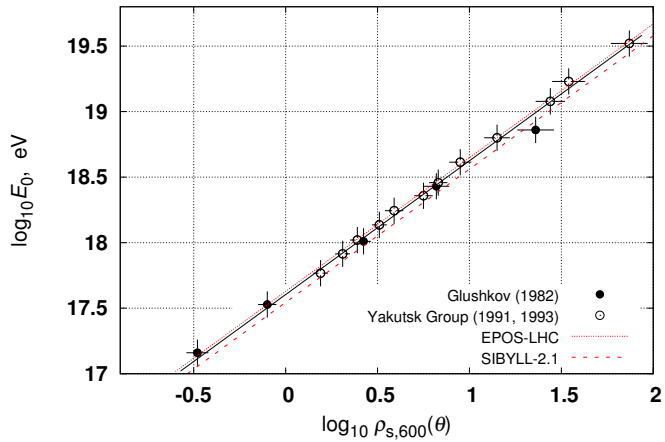
модель	A	E_γ ($\times 10^{17}$) эВ	E_{ion} ($\times 10^{17}$) эВ	E_{el} ($\times 10^{17}$) эВ	E_μ ($\times 10^{17}$) эВ	ΔE ($\times 10^{17}$) эВ	E_0 ($\times 10^{17}$) эВ
QGSJet01d	p	0.806	6.620	1.469	0.517	0.565	9.978
	Fe	0.529	6.660	1.306	0.785	0.798	9.972
QGSJetII-04	p	0.859	6.476	1.474	0.547	0.624	9.980
	Fe	0.582	6.430	1.302	0.844	0.866	9.981
SIBYLL-2.1	p	0.909	6.625	1.523	0.428	0.491	9.976
	Fe	0.528	6.679	1.340	0.702	0.716	9.965
EPOS-LHC	p	0.891	6.412	1.482	0.524	0.657	9.966
	Fe	0.543	6.415	1.305	0.794	0.898	9.955
среднее	p	0.866	6.533	1.487	0.504	0.584	9.974
	Fe	0.546	6.531	1.313	0.781	0.820	9.968
	p-Fe	0.706	6.532	1.400	0.643	0.702	9.970
эксперимент	-	9.287		0.947	0.636	0.860	11.730
новая оценка	-	7.926		0.947	0.618	0.702	10.190

Таблица 2, строка „эксперимент“: $\sum E = 1.173 \times 10^{18}$ эВ,
 $\langle E_0 \rangle = 0.997 \times 10^{18}$ эВ
разница в ~ 1.18 раза

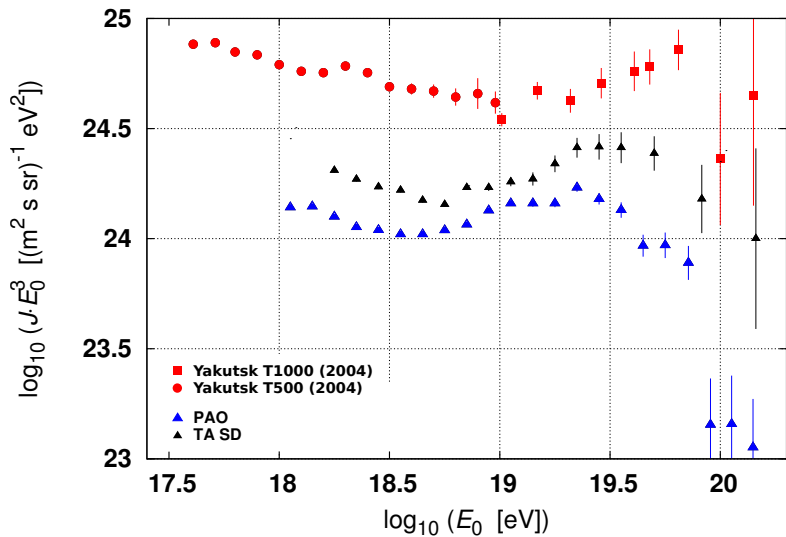
(Якутск'82): $k = 3.7 \times 10^4$ эВ/фотон эВ $^{-1}$
CORSIKA: $\langle k \rangle = 3.157 \times 10^4$ эВ/фотон эВ $^{-1}$

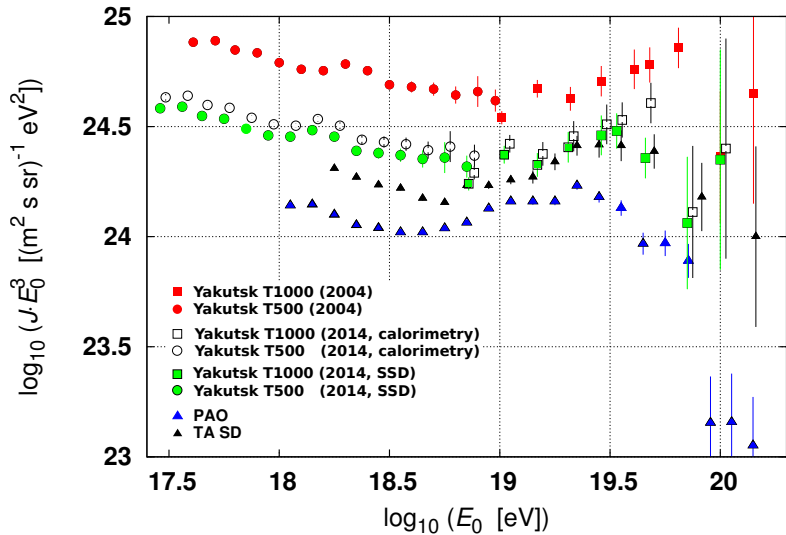
E_0 , восстановленная из $\rho_{s,600}(\theta)$ в ливнях с $\langle \cos \theta \rangle = 0.95$

$$E_0 = (3.60 \pm 0.3) \times 10^{17} \cdot (\rho_{s,600}(0^\circ))^{1.02 \pm 0.02}, \quad (13)$$



Энергетический спектр КЛ





Заключение

Выводы

Выводы

- С использованием кода CORSIKA в рамках нескольких моделей адронных взаимодействий при сверхвысоких энергиях были рассчитаны отклики в наземных детекторах ЯКУ ШАЛ

Выводы

- С использованием кода CORSIKA в рамках нескольких моделей адронных взаимодействий при сверхвысоких энергиях были рассчитаны отклики в наземных детекторах ЯКУ ШАЛ
- Расчеты показали, что в выражениях (1) и (4) энергия, рассеянная в атмосфере в виде электромагнитной компоненты, была завышена на 12%-17%, в зависимости от x_{\max}
 - в (4) ситуация была усугублена недооценкой прозрачности атмосферы ($\sim 17\%$)

Выводы

- С использованием кода CORSIKA в рамках нескольких моделей адронных взаимодействий при сверхвысоких энергиях были рассчитаны отклики в наземных детекторах ЯКУ ШАЛ
- Расчеты показали, что в выражениях (1) и (4) энергия, рассеянная в атмосфере в виде электромагнитной компоненты, была завышена на 12%-17%, в зависимости от x_{\max}
 - в (4) ситуация была усугублена недооценкой прозрачности атмосферы ($\sim 17\%$)
- Обновленная калориметрия (13) привела к уменьшению оценки энергии E_0 в сравнении с (1) в ~ 1.33 раза (и, соответственно, к уменьшению интенсивности полученного спектра КЛ)

Выводы

- С использованием кода CORSIKA в рамках нескольких моделей адронных взаимодействий при сверхвысоких энергиях были рассчитаны отклики в наземных детекторах ЯКУ ШАЛ
- Расчеты показали, что в выражениях (1) и (4) энергия, рассеянная в атмосфере в виде электромагнитной компоненты, была завышена на 12%-17%, в зависимости от x_{\max}
 - в (4) ситуация была усугублена недооценкой прозрачности атмосферы ($\sim 17\%$)
- Обновленная калориметрия (13) привела к уменьшению оценки энергии E_0 в сравнении с (1) в ~ 1.33 раза (и, соответственно, к уменьшению интенсивности полученного спектра КЛ)
- Независимый метод оценки энергии на основе отклика наземных детекторов дал схожие результаты

Выводы

- С использованием кода CORSIKA в рамках нескольких моделей адронных взаимодействий при сверхвысоких энергиях были рассчитаны отклики в наземных детекторах ЯКУ ШАЛ
- Расчеты показали, что в выражениях (1) и (4) энергия, рассеянная в атмосфере в виде электромагнитной компоненты, была завышена на 12%-17%, в зависимости от x_{\max}
 - в (4) ситуация была усугублена недооценкой прозрачности атмосферы ($\sim 17\%$)
- Обновленная калориметрия (13) привела к уменьшению оценки энергии E_0 в сравнении с (1) в ~ 1.33 раза (и, соответственно, к уменьшению интенсивности полученного спектра КЛ)
- Независимый метод оценки энергии на основе отклика наземных детекторов дал схожие результаты
- Оба метода в пределах 10-15% согласуются с расчетами

Выводы

- С использованием кода CORSIKA в рамках нескольких моделей адронных взаимодействий при сверхвысоких энергиях были рассчитаны отклики в наземных детекторах ЯКУ ШАЛ
- Расчеты показали, что в выражениях (1) и (4) энергия, рассеянная в атмосфере в виде электромагнитной компоненты, была завышена на 12%-17%, в зависимости от x_{\max}
 - в (4) ситуация была усугублена недооценкой прозрачности атмосферы ($\sim 17\%$)
- Обновленная калориметрия (13) привела к уменьшению оценки энергии E_0 в сравнении с (1) в ~ 1.33 раза (и, соответственно, к уменьшению интенсивности полученного спектра КЛ)
- Независимый метод оценки энергии на основе отклика наземных детекторов дал схожие результаты
- Оба метода в пределах 10-15% согласуются с расчетами
- Полученные спектры КЛ лучше согласуются с мировыми данными